

مدل کردن رفتار غیرخطی و پس کمانشی اعضای سازه ای با مقطع لوله ای با استفاده از المان الیافی

بهروز عسگریان

دانشجوی دکتری سازه - بخش مهندسی عمران - دانشکده فنی - دانشگاه تربیت مدرس
علی اکبر آقا کوچک

دانشیار بخش مهندسی عمران - دانشکده فنی - دانشگاه تربیت مدرس
(تاریخ دریافت ۸۰/۸/۵ ، تاریخ تصویب ۸۱/۲/۲۸)

چکیده

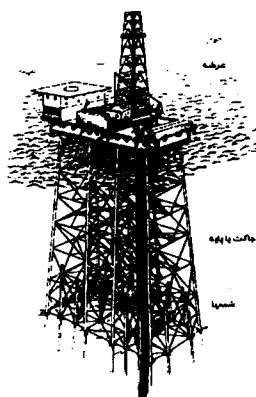
به منظور انجام تحلیل غیرخطی یک سازه می‌باید رفتار اعضاء سازه در محدوده غیرخطی مشخص گردیده و در صورت عبور از محدوده خطی، پاسخ سازه با توجه به مدل رفتاری پیش‌بینی شده که می‌باید با واقعیت و نتایج آزمایشگاهی تطابق داشته باشد، بدست می‌آید. در اعضاه لوله ای سازه هایی از قبیل سکوهای ثابت فلزی دریائی تحت اثر بارهای سطح غیرخطی، دو نوع رفتار مهار بندی و قاب وجود دارد. در این مقاله نحوه مدل کردن رفتار این اعضاء با استفاده از المان پس کمانشی تبرستون الیافی که در این تحقیق در برنامه غیرخطی DRAIN-3DX وارد شده است، بیان گردیده و نتایج مدل المان مورد نظر در حالت های مختلف با نتایج آزمایشگاهی و نتایج دیگر روشها مقایسه شده است.

واژه های کلیدی : سکوهای ثابت فلزی دریائی، تحلیل غیرخطی، عضومهاربندی، عضو قاب، المان تیر ستون پس کمانشی الیافی

مقدمه

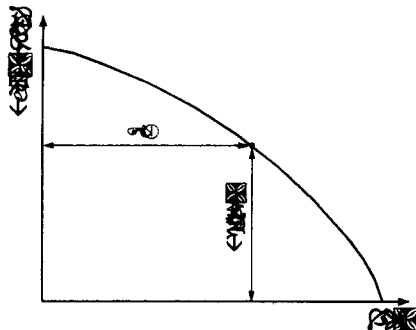
با توجه به اهمیت این نوع از سازه ها دو سطح از زلزله برای طراحی این سازه ها مورد استفاده قرار می‌گیرد. سطح اول سطح مقاومت یا (Strength Level) و سطح دوم سطح شکل پذیری یا (Ductility Level) نا میده می‌شود. در سطح مقاومت، سازه در مقابل زلزله با دوره بازگشت کمتر و شدت کمتر بصورت الاستیک آنالیز و طراحی می‌گردد. ولیکن در سطح شکل پذیری، سازه در مقابل زلزله با شدت بیشتر و دوره بازگشت طولانی تر تحلیل می‌گردد. در این حالت با توجه به شدت زلزله، سازه وارد محدوده غیرخطی خواهد شد. به منظور انجام یک تحلیل خطی برای یک سازه قالی، عضو بصورت المان تیر ستون مدل می‌گیرد. در این المان باید سختی های محوری، خمشی، پیچشی و برشی مشخص و تحلیل با توجه به مقادیر سختی انجام شود. ولیکن، المانهای غیرخطی نسبت به المان های خطی دارای پیچیدگی خاص خود هستند. در یک آنالیز غیرخطی، انتخاب صحیح نوع المان و پارامترهای وابسته به آن از اهمیت خاصی برخوردار است. به منظور انجام تحلیل

سکوهای دریائی برای مقاصد مختلف نفتی مورد استفاده قرار می‌گیرد این نوع از سازه ها، دارای انواع مختلفی می‌باشد که با توجه به کاربرد سکو و عمق آب در محل نصب سکو مشخص می‌گردد. یکی از انواع متداول این سکوها، سکوهای ثابت فلزی می‌باشد. این نوع از سکوها (شکل ۱) از سه قسمت عمدۀ عرشه (Deck) جاکت یا پایه (Jacket) و شمعها (Piles) تشکیل شده است.



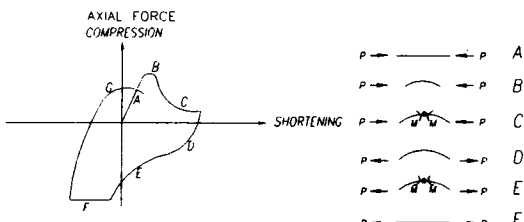
شکل ۱: نمای کلی یک سکوی ثابت فلزی دریائی.

هردو عضو مهاربندی و قاب در سازه شکل (۲) تحت نیروی محوری و لنگر خمی متغیر قرار دارند. با توجه به تغییرات نیروهای داخلی در اعضاء جاکت، دو نوع رفتار متفاوت قاب و مهاربندی وجود دارد. با درنظر گرفتن منحنی اندرکنش نیروی محوری و لنگر خمی شکل (۳) دریک عضو مهاربندی نیروی محوری متغیر و لنگر خمی تقریباً ثابت می‌باشد [۳]. در مقابل دریک عضو قاب نیروی محوری تقریباً ثابت و لنگر خمی دارای تغییرات شدید می‌باشد.



شکل ۳: منحنی اندر کنش نیروی محوری و لنگر خمی در یک عضو لوله ای.

در شکل (۴) منحنی آزمایشگاهی رفتار یک مهاربندی [۴] نشان داده شده است.



شکل ۴: منحنی آزمایشگاهی رفتار یک عضو بادبندی.

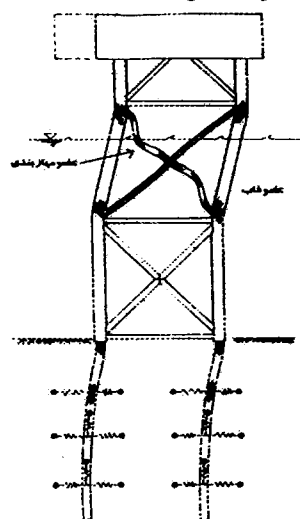
در حین بارگذاری تانکته A رفتار نیرو تغییر مکان عضو بصورت ارجاعی بوده و عضو مستقیم باقی میماند. در نقطه B عضو تحت بار کمانشی ارجاعی یا غیر ارجاعی، کمانش مینماید. پس از آن، افزایش تغییر مکان با کاهش بار محوری همراه خواهد بود. در نقطه C اندرکنش نیروی محوری و لنگر خمی ناشی از $P - \Delta$ باعث تشکیل مفصل پلاستیک میگردد. عضو مهاربندی پس از کمانش با افزایش تغییر مکان جانبی مقاومت خود را از دست میدهد. اگر بارگذاری درجهت عکس بروی عضو انجام گیرد عضو به یک وضعیت شبه ارجاعی در منطقه C وارد

غیرخطی در سطح شکل پذیری، میباشد پاسخ و رفتار اعضاء در محدوده غیر خطی در آنالیز پیش بینی گردد. بدیهی است نتایج آنالیز با توجه به رفتار معرفی شده برای اعضاء و روش مورد استفاده در تحلیل غیر خطی بدست خواهد آمد.

روشهای مختلفی برای بیان و معرفی رفتار غیرخطی اعضاء جاکت ارائه گردیده است که این روشها عمدها مبنی بر نتایج آزمایشگاهی و بعضی مدل‌های تحلیلی می‌باشند. بطور کلی اعضاء جاکت دارای دو رفتار مختلف مهاربندی و قاب می‌باشند [۱]. در این مقاله یک مدل برای بیان رفتار غیرخطی اعضاء مهاربندی و قاب جهت تحلیلهای غیرخطی سکوهای ثابت فلزی دریائی ارائه شده و نتایج آن با نتایج موجود آزمایشگاهی و تحلیلی مقایسه می‌شود.

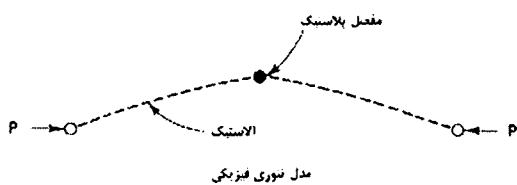
Riftar اعضاء مهاربندی و قاب

در تحلیلهای غیر خطی، نتایج تحلیل با توجه به رفتار پیش بینی شده برای اعضاء بدست می‌آید. در یک سکوی ثابت فلزی دریائی تحت اثر بارهای سطح غیر خطی، رفتار سازه به رفتار جاکت و اعضاء آن وابسته می‌باشد [۲]. دریک جاکت در سطح بارگذاری غیرخطی، دو نوع رفتار متفاوت قاب و مهاربندی وجود دارد. در شکل (۲)، شکل کلی تغییر فرم یافته یک سکوی دریائی تحت تاثیر بارگذاری در حین بارگذاری نشان داده شده است

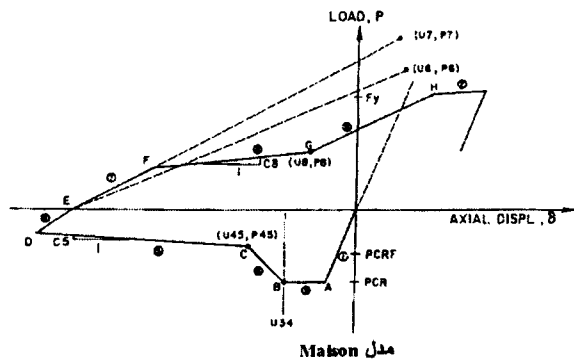


شکل ۲: شکل کلی یک سکوی دریائی تحت تاثیر بار جانبی در حین بارگذاری.

انحناه بصورت الاستوپلاستیک کامل در مفاصل پلاستیک تدوین شده است. در طی آنالیز سازه، وقتی ترکیب نیروی محوری و لنگرخمشی در مفصل پیش بینی شده بروی منحنی اندرکنش نیروی محوری و لنگر خمشی قرار بگیرد، به مفصل اجازه دوران پلاستیک داده خواهد شد در شکل (۶) نمونه ای از مدل های تئوری فیزیکی نشان داده شده است. مبنای مدل های پدیده ای [۱۰ و ۱۱] در تعریف منحنی نیروی محوری تغییر مکان محوری المان خربائی است که مدل کننده رفتار عضو مهاربندی می باشد. در شکل (۷) یک نمونه از منحنی های رفتاری مدل های پدیده ای نشان داده شده است.



شکل ۶: نمونه ای از مدل تئوری فیزیکی.



شکل ۷: نمونه ای از مدل تئوری پدیده ای.

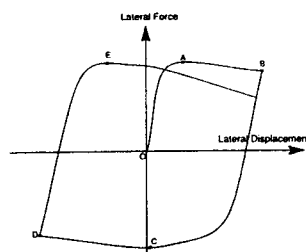
در بیان رفتار غیر خطی اعضاء قاب، مدل های غیرخطی در یکی از سه حالت پلاستیسیته مت مرکز (امکان پلاستیک شدن در مفصل پلاستیک)، پلاستیسیته گستردۀ (امکان پلاستیک شدن در سرتاسر طول عضو) [۱۲] و مدل های اجزاء محدود مورد استفاده قرار میگیرد.

مشخصه های المان مورد استفاده

در تحقیق حاضر، المان پس کمانشی تیرستون الیافی^۱ در برنامه کامپیوترا غیرخطی DRAIN-3DX و

خواهد شد. ولیکن با توجه به اینکه عضو دارای انحناه شده است، سختی محوری از مقدار اولیه به مراتب کمتر خواهد بود. در نقطه E مجدداً تسلیم در منطقه وسطی عضو مهاربندی اتفاق خواهد افتاد مقاومت تسلیم تا زمان حذف تغییر مکان عرضی عضو مهاربندی افزایش خواهد یافت(نقطه F). در سیکلهای بعدی بارگذاری با کاهش مقاومت و سختی در عضو نسبت به حالت اولیه روبرو خواهیم بود (مقایسه نقاط B,G).

در شکل (۵) رفتار نیرو تغییر مکان جانبی یک عضو قاب [۵] نشان داده شده است.



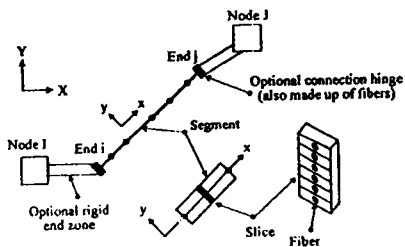
شکل ۵: منحنی رفتاری یک عضو قاب.

در قسمت OA در ابتدا رفتار بصورت خطی و پس از آن در قسمت انتهایی OA تسلیم و با توجه به اثرات P-Δ در نقطه A مفصل پلاستیک تشکیل میگردد. پس از تشکیل مفصل پلاستیک در A، افزایش تغییر مکان جانبی با کاهش نیروی جانبی به مقدار کمی همراه خواهد بود. همچنین در قسمت بار برداری BCD اثرات بوشینگ مشاهده می گردد و بارگذاری مجدد مطابق با قسمت DE خواهد بود.

مدل های اعضاء در تحلیل های غیر خطی

در بیان رفتار اعضاء مهاربندی سکوهای دریایی تحت اثر بارهای سطح غیرخطی، روش های اجزاء محدود، مدل های تئوری فیزیکی و مدل های پدیده ای مورد استفاده قرار می گیرد. در روش اجزاء محدود [۶] عضو مهاربندی به تعدادی المان با طول مشخص تقسیم می گردد و یک آنالیز تغییر مکان بزرگ برای کل سیستم انجام می گیرد. مدل های تئوری فیزیکی [۹] جهت مدل کردن رفتار مهاربندی ها نسبت به روش اجزاء محدود، ساده تر و کاربردی تر میباشد در این روش روابط تحلیلی بر اساس فرض منحنی های اندرکنش نیروی محوری و لنگرخمشی و فرض رابطه ممان

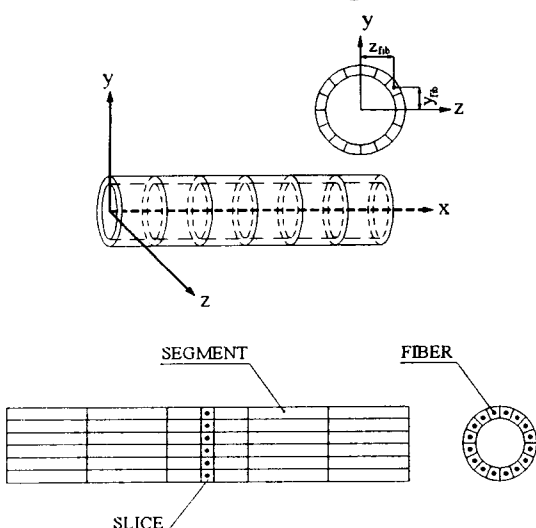
کمانشی برای مدل کردن اعضاء مهاربندی در سکوهای ثابت فلزی که نیاز به انتالیز سطح شکل پذیری دارند، از اهمیت خاص خود برخوردار است. در شکل (۸) مشخصات المان (E16) نشان داده شده است.



شکل ۸: مشخصات المان پس کمانشی تیر ستون الیافی.

روابط حاکم بر المان

مدل استفاده شده در این تحقیق یک المان الیافی بر اساس روش انعطاف پذیری می باشد. در این روش المان در طول خود به تعدادی قطعه^۳ تقسیم می گردد (شکل ۹). در وسط هر قطعه، مقطع عرضی به تعدادی الیاف^۴ تقسیم بندی میگردد. مشخصه های هندسی الیاف ، شامل سطح مقطع الیاف A_{fib} و مختصات Z_{fib} و Y_{fib} الیاف در دستگاه مختصات محلی می باشد . از دیگر پارامتر های مورد نیاز جهت مدل کردن اعضاء به این روش تنها منحنی تنش - کرنش الیاف می باشد .



شکل ۹: تقسیم بندی المان E16.

برای این المان ، ماتریس سختی عضو، مستقیماً محاسبه نمی گردد، بلکه با توجه به وضعیت الیاف و پاسخ

^{۱۵۰} با اعمال تغییرات در المان تیرستون الیافی^۲ اضافه شده است. عموماً در تحلیل غیر خطی یک قاب سازه ای، المان تیر ستون بر اساس فرض تابع شکل درجه ۳ مورد استفاده قرار می گیرد. فرض تابع شکل درجه ۳، موجب تغییرات خطی انجناه در طول عضو خواهد شد که این حالت برای المان الاستیک با واقعیت رفتار تطابق دارد، ولیکن پس از وارد شدن عضو در محدوده غیر خطی، فرض استفاده شده دارای خطا خواهد بود ، برای کاهش خطا در محدوده غیرخطی نیاز به تقسیم بندی عضو به اعضاء با طول کمتر می باشد که افزایش تعداد المانها همراه با افزایش درجات آزادی خواهد بودو طولانی شدن حل مسئله را بدنبال خواهد داشت.

در روشنی که در این مقاله برای بیان مدل رفتاری اعضاء استفاده شده است، یک عضو مهاربندی و یا قاب در حالات خطی و غیرخطی با معروفی تنها یک المان و با دقت مناسب مدل میگردد. در این مدل، درجات آزادی به شدت کاهش یافته و مسئله سریعتر حل خواهد شد و در عین حال با توجه به عدم نیاز به پارامترهای مدل های تئوری فیزیکی و پدیده ای از سادگی خاص برخوردار است. در این روش با توجه به اینکه ماتریس های سختی مقطع و عضو با در نظر گرفتن وضعیت الیاف در هر لحظه تغییر می یابد، در نتیجه توابع شکل در حین آنالیزهای غیر خطی با توجه به رفتار و وضعیت در داخل المان مرتب تغییر میکند و در عین حال هیچگونه گره اضافی که باعث افزایش درجات آزادی شود معرفی نمی گردد. با استفاده از این المان به همراه دیگر المان های موجود در برنامه، پاسخ هیسترزیس یک سکوی ثابت فلزی تحت بارهای رفت و برگشتی و بادینامیکی می تواند محاسبه گردد .

برنامه DRAIN-3DX یک سری برنامه های مینا و یک سری زیر برنامه برای المانها دارد که قابلیت افزایش زیر برنامه برای المانهای مختلف در برنامه وجود دارد. در المانهای برنامه DRAIN-3DX المان تیر ستون الیافی (E15) وجود دارد که این المان قادر به پیش بینی کمانش و ناحیه پس کمانشی نمی باشد. المان جدید اضافه شده به برنامه DRAIN-3DX (المان E16) مشابه المان 15 میباشد با این تفاوت که بار کمانشی و ناحیه پس از کمانشی را نیز در نظر می گیرد. در نظر گرفتن ناحیه پس

در حالت کلی برای یک وضعیت کرنش در مقطع، به ازاء یک تغییر کرنش رابطه بین نیرو و تغییرشکل بصورت معادله (۴) میباشد:

$$dS(x) = \left[\sum_{nfb}^T a_s(y_{i_{fb}}, z_{i_{fb}}) * E_{i_{fb}} * a_s(y_{i_{fb}}, z_{i_{fb}}) * A_{i_{fb}} \right] \begin{bmatrix} d\epsilon_a \\ d\rho_y \\ d\rho_z \end{bmatrix} \quad (4)$$

رابطه فوق را میتوان بصورت رابطه (۵) نیز بازنویسی کرد:

$$dS(x) = k(x) * de(x) \quad (5)$$

که در آن $k(x)$ ماتریس سختی مقطع [۱۶] و $e(x)$ بردار تغییر شکل مقطع بقرار زیر می باشند:

$$\begin{aligned} k(x) &= \sum_{nfb}^T a_s(y_{i_{fb}}, z_{i_{fb}}) * E_{i_{fb}} * a_s(y_{i_{fb}}, z_{i_{fb}}) * A_{i_{fb}} \\ &= \sum_{nfb} \begin{bmatrix} 1 \\ -y \\ z \end{bmatrix} * E_{i_{fb}} * [1 \ -y \ z] * A_{i_{fb}} \end{aligned} \quad (6)$$

$$e(x) = \begin{bmatrix} \epsilon_a \\ \rho_y \\ \rho_z \end{bmatrix} \quad (7)$$

را میتوان بصورت رابطه (۸) نیز نوشت:

$$k(x) = \begin{bmatrix} \sum_{nfb} E_{i_{fb}} A_{i_{fb}} & -\sum_{nfb} E_{i_{fb}} A_{i_{fb}} z_{i_{fb}} & \sum_{nfb} E_{i_{fb}} A_{i_{fb}} y_{i_{fb}} \\ -\sum_{nfb} E_{i_{fb}} A_{i_{fb}} z_{i_{fb}} & \sum_{nfb} E_{i_{fb}} A_{i_{fb}} z^2_{i_{fb}} & -\sum_{nfb} E_{i_{fb}} A_{i_{fb}} z_{i_{fb}} y_{i_{fb}} \\ \sum_{nfb} E_{i_{fb}} A_{i_{fb}} y_{i_{fb}} & -\sum_{nfb} E_{i_{fb}} A_{i_{fb}} z_{i_{fb}} y_{i_{fb}} & \sum_{nfb} E_{i_{fb}} A_{i_{fb}} y^2_{i_{fb}} \end{bmatrix} \quad (8)$$

ماتریس $k(x)$ درین بارگذاری با توجه به هرگونه تغییر در وضعیت مدول مماسی E_i تغییر می یابد و مرتبا با آخرين وضعیت المان تطابق خواهد داشت. پس از آن ماتریس سختی معکوس گردیده و ماتریس انعطاف پذیری مقطع بدست خواهد آمد

$$f(x) = k^{-1}(x) \quad (9)$$

آنها در سطح بارگذاری مورد نظر در طول المان بدست می آید. هر دو حالت غیر خطی مصالح و غیر خطی هندسی با در نظر گرفتن ماتریس سختی عادی و ماتریس سختی هندسی درنظر گرفته شده است. غیر خطی مصالح بخاطر عبور از محدوده خطی، ترکها یا لغزش‌های احتمالی ممکن است بوجود آید، در حالیکه غیر خطی هندسی بدلیل تغییر شکل سازه و اجزای آن و به عبارتی تغییر شکل‌های بزرگ در سازه به وجود می آید. ماتریس سختی این المان بر اساس رابطه (۱) میباشد:

$$K = K_U + K_G \quad (1)$$

برای محاسبه ماتریس سختی عادی K_U ، درابتدا کرنش در هر الیاف با استفاده از کرنش در مرکز مقطع و احنانه حول دو محور Z و Y و با استفاده از فرض برنولی مبنی بر اینکه مقاطع صفحه‌ای عمود بر محور طولی عضو پس از تغییر شکل بصورت عمودی باقی می‌مانند بدست می آید.

اگر احنانه حول محورهای Z ، Y به ترتیب $\rho_y(x)$ و $\rho_z(x)$ و کرنش در مرکز مقطع $\epsilon_a(x)$ باشد با توجه به فرض برنولی کرنش در هر الیاف براساس رابطه (۲) بدست می آید

$$\epsilon_{ifib} = \begin{pmatrix} 1 & -z_{i_{fb}} & y_{i_{fb}} \end{pmatrix} * \begin{bmatrix} \epsilon_a \\ \rho_y \\ \rho_z \end{bmatrix} \quad (2)$$

با استفاده از کرنش در هر الیاف و با موجود بودن رابطه تنش و کرنش، میتوان مدول مماسی $(E_{i_{fb}})$ الیاف را در سطح بارگذاری مربوطه بدست آورد. بردار نیروی داخلی مقطع، بر اساس رابطه (۳) بدست می آید:

$$S(x) = \begin{bmatrix} p(x) \\ M_y(x) \\ M_z(x) \end{bmatrix} = \sum_{nfb} \begin{bmatrix} 1 \\ -z_{i_{fb}} \\ y_{i_{fb}} \end{bmatrix} * \sigma_{i_{fb}} * A_{i_{fb}} = \sum_{nfb} a_s^T(y_{i_{fb}}, z_{i_{fb}}) * \sigma_{i_{fb}} * A_{i_{fb}} \quad (3)$$

که در آن درایه اول $S(X)$ بیانگر نیروی محوری مقطع و درایه های دوم و سوم بردار نیروی داخلی مقطع بیانگر لنگرهای خمی خوشی حول محورهای (M_z ، M_y ، z ، y) می باشد.

$$K_1 = F^{-1} \quad (12)$$

ماتریس سختی بدست آمده در دستگاه اولیه سپس به دستگاه مختصات محلی (شکل ۱۱) مطابق با رابطه (۱۳) وسپس به دستگاه مختصات اصلی تبدیل می‌گردد.

$$K_{usual} = A^T \cdot K_1 \cdot A \quad (13)$$

که در آن A ماتریس تبدیل می‌باشد.
برای محاسبه ماتریس سختی هندسی روش‌های مختلفی وجود دارد [۱۷]. برای سازه‌های قابی شکل روش ساده‌تر و کاربردی‌تر ثئوری $P - \Delta$ به منظور در نظر گرفتن غیر خطی هندسی مورد استفاده قرار می‌گیرد. برای المان تغییر یافته در برنامه DRAIN-3DX روش ماتریس هندسی برای محاسبه ماتریس سختی هندسی مورد استفاده قرار گرفت.

برای درجات آزادی محلی مطابق شکل (۱۱) ماتریس سختی مطابق رابطه زیر در نظر گرفته شده است

[۱۸]

$$K_s = \begin{bmatrix} 0 & 0 & 0 & 0 & 0 & 0 & 0 & 0 & 0 & 0 \\ \frac{6P}{5I} & 0 & 0 & 0 & \frac{P}{10} & 0 & -\frac{6P}{5I} & 0 & 0 & 0 \\ 0 & \frac{6P}{5I} & 0 & -\frac{P}{10} & 0 & 0 & 0 & -\frac{6P}{5I} & 0 & -\frac{P}{10} \\ 0 & 0 & \frac{6P}{5I} & 0 & 0 & 0 & 0 & 0 & 0 & 0 \\ 0 & 0 & 0 & 0 & 0 & 0 & 0 & 0 & 0 & 0 \\ \frac{2Pl}{15} & 0 & 0 & 0 & \frac{P}{10} & 0 & -\frac{Pl}{30} & 0 & 0 & 0 \\ 0 & \frac{2Pl}{15} & 0 & -\frac{P}{10} & 0 & 0 & 0 & -\frac{Pl}{30} & 0 & 0 \\ 0 & 0 & 0 & 0 & 0 & 0 & 0 & 0 & 0 & 0 \\ \frac{6Pl}{5} & 0 & 0 & 0 & \frac{P}{10} & 0 & 0 & 0 & 0 & 0 \\ 0 & \frac{6Pl}{5} & 0 & 0 & 0 & 0 & 0 & 0 & 0 & 0 \\ 0 & 0 & 0 & 0 & 0 & 0 & 0 & 0 & 0 & 0 \end{bmatrix} \quad (14)$$

که در آن P نیروی محوری فشاری در طول المان و I طول المان می‌باشد. به ازاء هرگونه تغییر در نیروی محوری، تغییرات ماتریس سختی در محاسبات مدنظر قرار می‌گیرد.

در این المان از تغییر شکلهای برشی صرف‌نظر گردیده است،

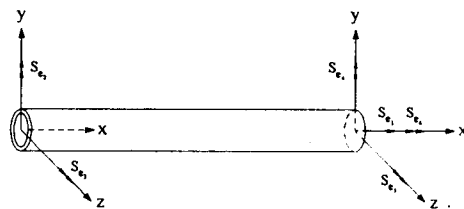
با استفاده از ماتریس انعطاف پذیری مقطع ماتریس انعطاف پذیری المان F بصورت رابطه (۱۰) بدست خواهد آمد.

$$F = \int_0^L b'(x) \cdot f(x) \cdot b(x) \cdot d(x) \quad (10)$$

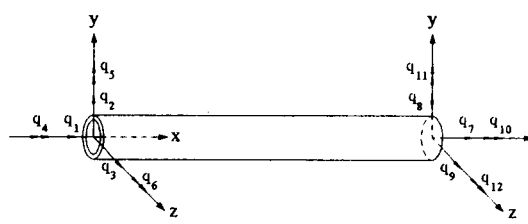
که در آن $b(x)$ ماتریس تابع انتقال نیرو مطابق با رابطه (۱۱) می‌باشد:

$$b(x) = \begin{bmatrix} 1 & 0 & 0 & 0 & 0 & 0 \\ 0 & x/l - 1 & x/l & 0 & 0 & 0 \\ 0 & 0 & 0 & x/l - 1 & x/l & 0 \end{bmatrix} \quad (11)$$

(x) رابطه بین نیروهای انتهایی درجات آزادی اولیه (شکل ۱۰) و مولفه‌های بردار نیروی داخلی مقطع (x) را برقرار می‌کند.



شکل ۱۰: درجات آزادی اولیه.



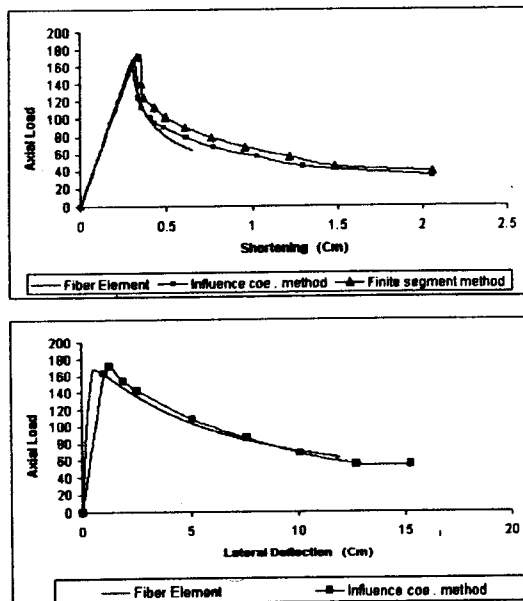
شکل ۱۱: درجات آزادی المان.

پس از آن ماتریس انعطاف پذیری عضو معکوس شده تمام ماتریس سختی عضو در دستگاه مختصات اولیه (شکل ۱۰) بدست می‌آید. این فرآیند جهت بدست آوردن ماتریس سختی عضو پس از هرگونه تغییر در وضعیت المان تکرار می‌گردد و ماتریس سختی عضو با آخرین وضعیت المان تطابق خواهد داشت.

رفتار پس کمانشی اعضاء دوسرمهصل

آنالیز پس کمانشی برای یک عضو دو سرمهصل بالاگری ۸۰ با استفاده از المان پس کمانشی تیرستون الیافی با خیز اولیه $1/1000$ انجام گرفت. رابطه تنش کرنش فولاد بصورت دو خطی باساخت شدگی کرنش 7.1% در تحلیل موردنظر مورد استفاده قرار گرفت.

در شکل (۱۳) نتایج بدست آمده از تحلیل به دو صورت رابطه نیرو تغییرمکان محوری و رابطه نیرو تغییر مکان جانبی با نتایج بدست آمده از روش‌های ضرایب تاثیر [۲۰] و قطعات محدود [۲۱] مقایسه شده است. همانطوریکه ملاحظه می‌گردد نتایج بدست آمده در مقایسه با روش‌هایی که به مراتب پیچیده می‌باشد تطابق خوبی را دارد.



شکل ۱۳: مقایسه منحنی پس کمانشی عضو دو سر مفصل.

رفتار پس کمانشی عضو دو سر گیردار

در شکل (۱۴) نتایج تحلیلی بدست آمده از آنالیز پس کمانشی یک عضو دو سر گیردار بالاگری ۷۲ و خیز اولیه $1/1000$ با نتایج آزمایشگاهی بدست آمده توسط D.R.Sherman [۲۲] و نتایج تحلیلی بدست آمده توسط W.F.Chen [۲۱] با استفاده از روش قطعات محدود مقایسه شده است. همانطوریکه ملاحظه می‌گردد در این قسمت نیز روابط نیرو تغییر مکان محوری و نیرو تغییر

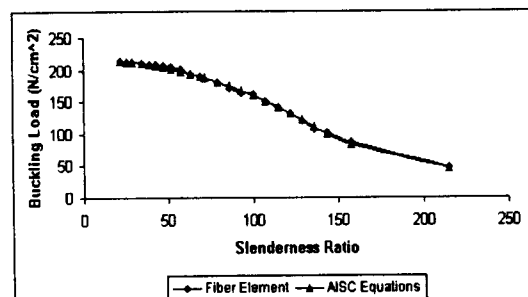
در نتیجه استفاده از ان محدود به حالت‌هایی می‌گردد که بتوان از این تغییر شکلها صرف‌نظر نمود. لذا این المان برای مدل‌سازی اعضایی که نسبت طول به قطر آنها کم است مناسب نمی‌باشد.

مقایسه و بررسی نتایج تحلیلی المان معرفی شده

در این قسمت المان تیرستون پس کمانشی الیافی جهت مقایسه نتایج آن با نتایج بدست آمده از آزمایش وروشهای تحلیلی دیگر مورد استفاده قرار گرفته و حالت‌های مختلف عضو مهاربندی بالاگری متفاوت تاحد پس کمانشی و تحت بار رفت وبرگشتی و عضو قاب تحت بار گذاری افزایشی تغییر مکان و بصورت رفت وبرگشتی با استفاده از المان معرفی شده تحلیل شده و نتایج آن مقایسه شده است.

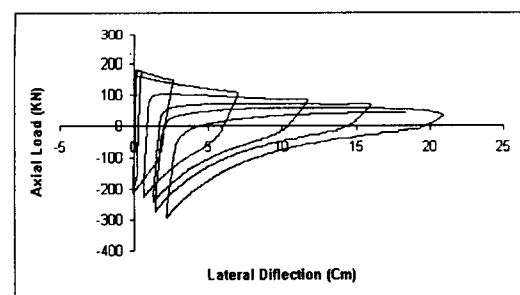
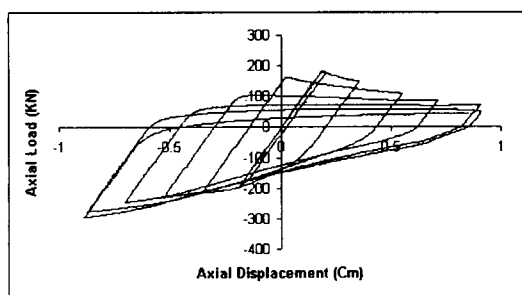
پیش‌بینی کمانش

برای مقایسه نتایج مقاومت کمانشی المان مورد نظر با نتایج دیگر روشها، برای تعدادی از اعضاء بالاگری های مختلف آنالیز پس کمانشی انجام گرفت و همچنین برای لاغری های موردنظر با استفاده از آئین نامه AISC(LRFD) [۱۹] بار کمانشی پیشنهادی آیین نامه محاسبه گردید. در این حالت عضو در طول خود به ۱۰ قطعه و مقطع عرضی به ۱۶ قطعه تقسیم بندی گردیده است. در شکل (۱۲) نتایج بار کمانشی المان موردنظر در مقایسه با نتایج بدست آمده از آئین نامه فوق مقایسه گردیده است. همانطوریکه در شکل مشاهده می‌گردد مقادیر بار کمانشی بادقت خوبی با استفاده از این روش پیش‌بینی گردیده است.



شکل ۱۲: مقایسه بار کمانشی المان.

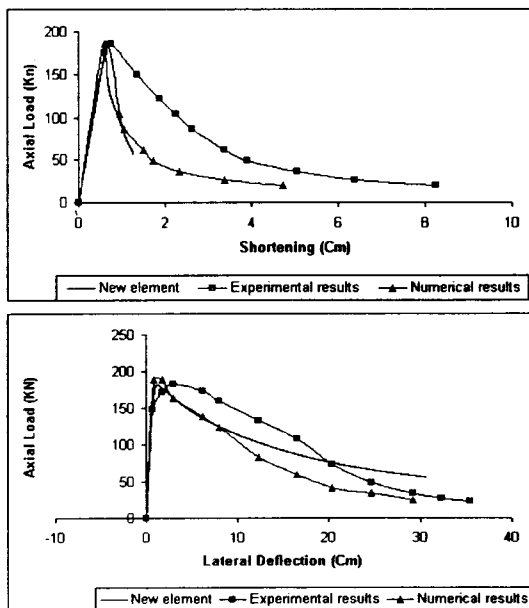
منظور مقایسه کاهش مقاومت در سیکلهای مختلف نتایج تحلیلی بارهای کمانشی با نتایج بدست آمده از آزمایش و همچنین نتایج روش‌های اجزاء محدود والمان Maison در شکل (۱۸) مقایسه شده است همانطوریکه ملاحظه می‌گردد المان مورد نظر بارکمانشی در سیکلهای متفاوت را با دقت قابل قبولی نسبت به روش‌های دیگر پیش بینی می‌نماید.



شکل ۱۵: منحنی نیرو تغییر مکان چرخه‌ای عضو دو سر مفصل.

عضو دو سر گیردار تحت بار رفت و برگشتی
رفتار تحلیلی غیر خطی یک سر عضو دوسر گیردار بالاگری ۲۵ و خیز اولیه $1/1000$ تحت بار رفت و برگشتی در شکل (۱۹) نشان داده شده است. این نمونه توسط Zayas و همکارانش در دانشگاه برکلی-کالیفرنیا [۲۴ و ۲۳] مورد آزمایش قرار گرفته است نتایج آزمایشگاهی نیرو و تغییر مکان محوری و تغییر مکان جانبی وسط در شکل (۲۰) ترسیم شده است. به منظور مقایسه نتایج در شکل (۲۱) نتایج بارهای کمانشی در سیکلهای متفاوت با نتایج آزمایشگاهی مقایسه شده است همانطوریکه ملاحظه می‌گردد المان مورد استفاده دارای دقت مناسب جهت تحلیل اینگونه اعضاء می‌باشد.

مکان جانبی دارای بار کمانشی بسیار نزدیک و رفتار پس کمانشی نسبتاً خوب می‌باشد.



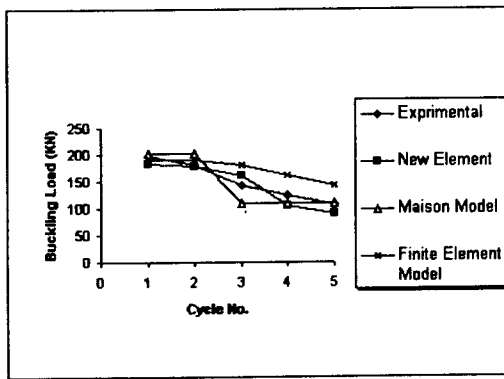
شکل ۱۶: مقایسه منحنی پس کمانشی عضو دو سر گیردار.

عضو دو سر مفصل تحت بار رفت و برگشتی

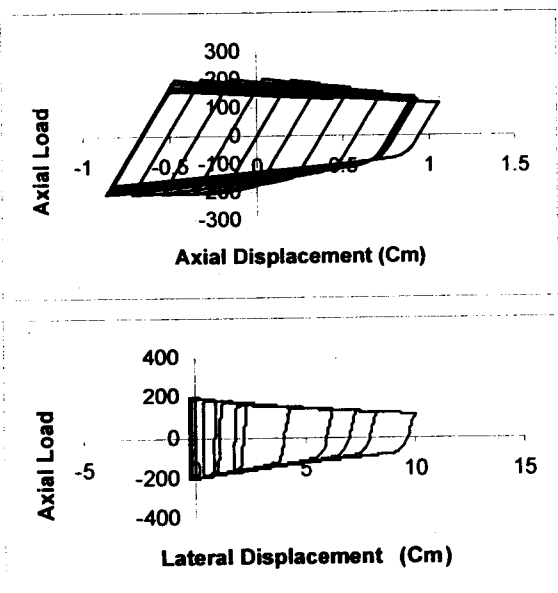
در این بخش، رفتار غیرخطی یک عضو دو سر مفصل تحت بار رفت و برگشتی با استفاده از المان تیرستون پس کمانشی الایافی با نتایج بدست آمده توسط Zayas و دیگر همکارانش [۲۴ و ۲۵] در دانشگاه برکلی کالیفرنیا مقایسه می‌گردد. در شکل (۱۵) منحنی نیرو تغییر مکان محوری و نیرو تغییر مکان جانبی برای عضو دو سر مفصل بالاگری ۵۴ (در سیکلهای ۱ تا ۵) با استفاده از این المان ترسیم شده است. همانطوریکه ملاحظه می‌گردد در المان مورد استفاده در طی سیکلهای متواالی کاهش مقاومت و کاهش سختی مشاهده می‌گردد. این کاهش مقاومت و کاهش سختی عمدها بخاطر بوجود آمدن تغییر مکان جانبی ماندگار پس از اولین کمانش است.

در شکل (۱۶) رفتار نیرو تغییر مکان بدست آمده از آزمایش در دو حالت نیرو تغییر مکان محوری و نیرو تغییر مکان جانبی به منظور مقایسه با نتایج تحلیلی ترسیم شده است.

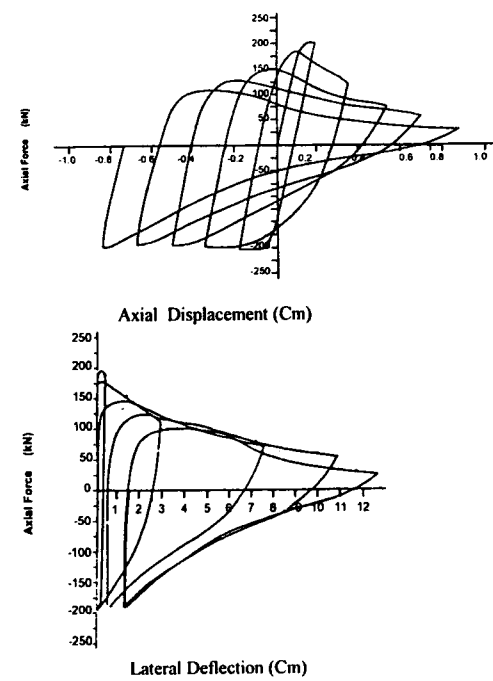
در شکل (۱۷) نتایج نیرو تغییر مکان محوری در دو حالت روش اجزاء محدود (شکل ۱۷-۱) [۲۶] و روش المان Maison (شکل ۱۷-۲) [۳۷] ترسیم شده است. به



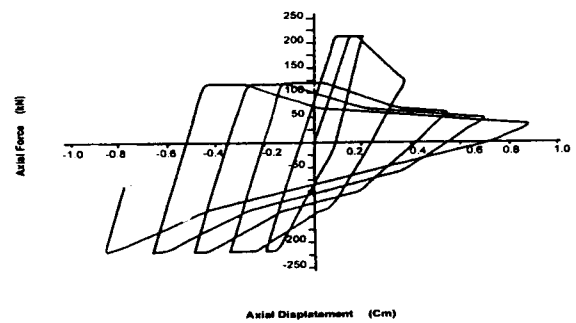
شکل ۱۸: مقایسه نیروی کمانشی در سیکلهای مختلف.

شکل ۱۹: منحنی نیرو تغییر مکان چرخه ای
عضو دو سر گیردار.

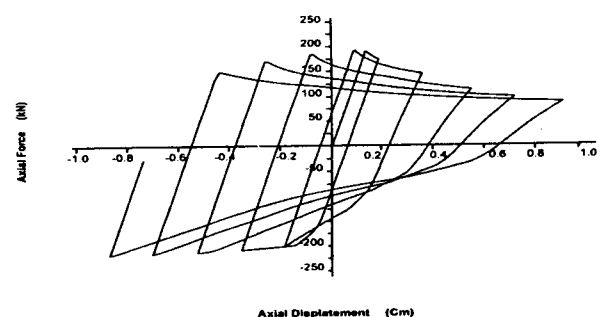
بررسی و مقایسه رفتار اعضاء قاب
در شکل (۲۲) رفتار نیرو و تغییر مکان جانبی یک عضو قاب کنسول با استفاده از المان پس کمانشی تیر سطون الیافی در مقایسه با نتایج آزمایشگاهی بدست آمده توسط D.R.Sherman [۲۲] و نتایج بدست آمده توسط W.F.Chen [۲۱] باستفاده از روش قطعات محدود ترسیم شده است. در این منحنی نیروی محوری عضو $p/y = 0.16$ می باشد که در آن y نیروی محوری متناظر با تسلیم می باشد. در شکل (۲۳) رفتار نیرو تغییر مکان عضو را در حالت نیروی محوری $p/y = 0.48$ در مقایسه با منحنی آزمایشگاهی بدست آمده توسط D.R.Sherman [۲۲]



شکل ۱۶: منحنی نیرو تغییر مکان چرخه ای (آزمایشگاهی).

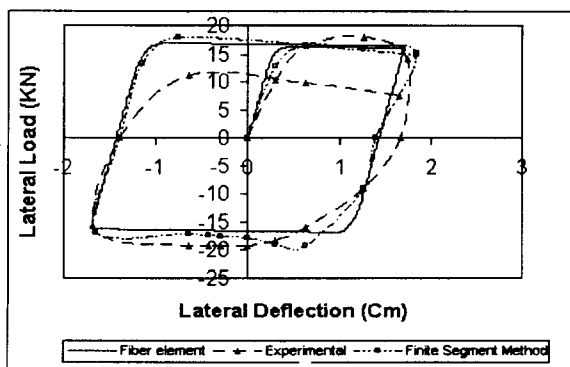


شکل ۱۷-۱: منحنی نیرو تغییر مکان محوری با استفاده از مدل Maision

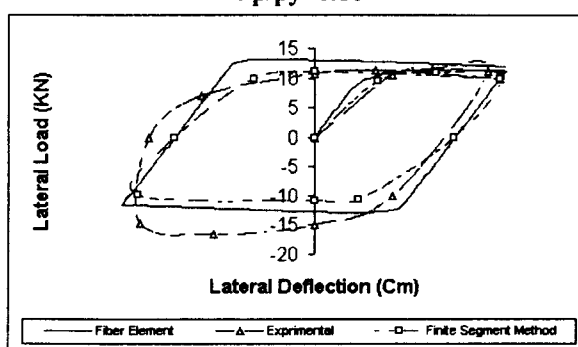


شکل ۱۷-۲: منحنی نیرو تغییر مکان محوری با استفاده از روش اجزاء محدود.

صورت مناسبی در تحلیل منظور گردد در این راستا مدل المان تیرستون پس کما نشی الیافی جهت مدل کردن اعضاء معرفی گردید. این المان می‌تواند برای مدلسازی رفتار غیر خطی کلیه اعضاء بکار رود. تنها پارامتر مورد نیاز جهت این مدلسازی، منحنی تنش کرنش تک محوری صالح می‌باشد. نتایج تحلیلی برای حالت‌های مختلف اعضاء مهار بندی و قاب تطابق خوبی با نتایج دیگر روشها و نتایج آزمایشگاهی دارد و می‌تواند برای بدست آوردن پاسخ دینامیکی و استاتیکی غیر خطی این سکوها مورد استفاده قرار گیرد.



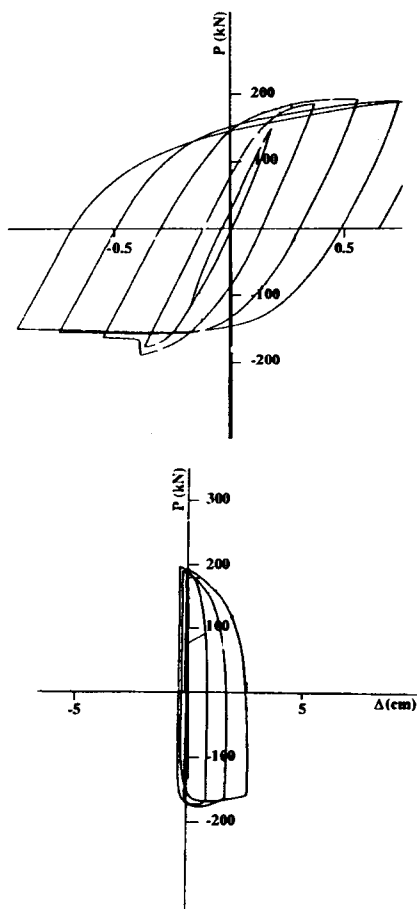
شکل ۲۲: مقایسه منحنی رفتاری عضو قاب در حالت $p/py=0.16$



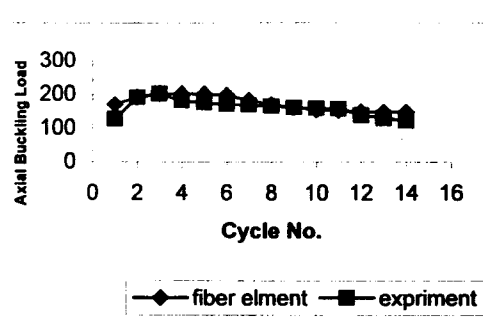
شکل ۲۳: مقایسه منحنی رفتاری عضو قاب در حالت $p/py=0.48$

تشکر و قدردانی
نویسنده اول این مقاله مراتب تشکر و قدردانی خود را از Prof. F.C. Fillipou و Prof. R.G. Bea و پروفسور ابوالحسن آستانه اصل بدلیل راهنمایی های ارزنده ای که در طی فرست تحقیقاتی خود در دانشگاه برکلی کالیفرنیا از ایشان دریافت نموده است، ابراز میدارد.

و منحنی تحلیلی بدست آمده توسط W.F.Chen [۲۱] ترسیم شده است. همانطوریکه ملاحظه می‌گردد نتایج دارای تطابق خوبی نسبت به نتایج آزمایشگاهی و تحلیلی می‌باشد.



شکل ۲۰: منحنی نیرو تغییر مکان چرخه ای (آزمایشگاهی).



شکل ۲۱: مقایسه نیروی کمانشی در سیکلهای مختلف.

نتیجه گیری
به منظور انجام تحلیلهای غیرخطی سکوهای دریایی باید مدل رفتاری اعضاء در قسمت غیرخطی به

مراجع

- 1 - Bea, R. G. (1993). "Seismic response of offshore platforms." *X-National Conference on Earthquake Engineering*, Jalisco, Mexico.
- 2 - Bea, R. G. (1993). "Response of offshore structures subjected to earthquakes." *International Workshop on Wind and Earthquake Engineering For Offshore and Coastal Facilities*, Port and Harbor Research Institute, Yokosuka, Japan.
- 3 - Sherman, D. R. (1978). "Cyclic inelastic behavior of beam-columns and struts." *ASCE preprint 3302*, Chicago, OCT. 1978.
- 4 - Sherman, D. R. and Erzurumlu, H. (1976). "Ultimate capacity of tubular beam-columns." *ASCE National Structural Engineering Conference*, Madison, Wisconsin.
- 6 - Fujimoto, M., Aoyagi, T., Ukai, K., Wada, A. and Saito, K. (1972). "Structural characteristics of eccentric K-braced frames." *Transactions AIJ*, No. 195.
- 7 - Sherman, D. R. and Erzurumlu, H. (1976). "Ultimate capacity of tubular beam-columns." *ASCE National Structural Engineering Conference*, Madison, Wisconsin.
- 8 - Sing, P. (1977). *Seismic Behavior of Braces and Braced Steel Frames*, Report No.UMEE77R1, University of Michigan, Ann Arbor.
- 9 - Ikeda, K. and Mahin, S. A. (1984). *A Refined Physical Theory Model for Predicting the Seismic Behavior of Braced Steel Frames*, Report No.UCB/EERC-84/12, University of California Berkeley.
- 10 - Marshal, P. W. (1978). "Design considerations for offshore structures having nonlinear response to earthquake." *preprint ASCE Annual convention and Exposition*, Chicago.
- 11 - Roeder, C. W. and Popov, E. P. (1977). *Inelastic behavior of eccentrically braced framed under cyclic loading*. Report No.UCB/EERC-77/18, Earthquake Engineering Research center, University of California Berkeley.
- 12 - Maison, B. and Popov, E. P. (1980). "Cyclic response prediction for braced steel frames." *Journal of the Structural Devision, ASCE*.
- 13 - Prakash, V., Powell, G. H. and Campbell, S. (1994). *DRAIN-3DX base program description and user guide, version 1.10*, Report No.UCB/SEMM-94/07, Department of Civil Engineering, University of California, Berkeley.
- 14 - Powell, G. H. and Campbell, S. (1994). *DRAIN-3DX element description and user guide for element type 01, type 04, type05, type 08, type 09, type 15, type 17, version 1:10*, Report No.UCB/SEMM-94/08, Department of Civil Engineering University of California, Berkeley.
- 15 - Prakash V. and Powell GH. (1993). *DRAIN-2DX, DRAIN-3DX and DRAIN-BUILDING: base program design documentation*, Report No.UCB/SEMM-93/16, Department of Civil Engineering University of California, Berkeley.
- 16 - Taucer, F., Spacone, E. and Fillipou, F. C. (1991). *A Fiber Beam-Column Element for Seismic Response Analysis of Reinforced Concrete Structures*, Report No.UCB/EERC-91/17, Earthquake Engineering Research center, University of California, Berkeley.

- 17 - Kaba, S. A. and , Mahin, S. A. (1983). *Interactive Computer Analysis Methods for Predicting the Inelastic Cyclic Behavior of Structural Sections*, Report No. UCB/EERC-83/18, Earthquake Engineering Research center, University of California, Berkeley.
- 18 - Yang, Y. B. and Kuo, S. R. (1994). *Theory and analysis of nonlinear framed structures*, Prentice Hall.
- 19 - ASCE, Manual of Steel Construction, Load & Resistance Factor Design, 1994, AISC.
- 20 - Han, D. J., Chen, W. F. (1983). "Buckling and cyclic inelastic analysis of steel tubular beam-columns." *Engineering Structures*, Vol. 5.
- 21 - Chen, W. F. and Han, D. J. (1985). *Tubular members in offshore structures*, Pitman Publishing Inc., Boston, Ma.
- 22 - Sherman, D. R. (1979). *Post Local Buckling Behavior of Tubular Strut type Beam-Columns: an Experimental Study*, Report to Shell Oil Co., University of Wisconsin-Milwaukee.
- 23 - Zayas, V. A., Popov, E. P. and Mahin, S. A. (1980). *Cyclic Inelastic Buckling of Tubular Steel Braces*, Report No. UCB/EERC-80/16, Earthquake Engineering Research Center, University of California, Berkeley.
- 24 - Zayas, V. A., Mahin, S. A. and Popov, E. P. (1980). *Cyclic Inelastic Behavior of Steel Offshore Structures*, Report No. UCB/EERC-80/27, Earthquake Engineering Research Center, University of California, Berkeley.
- 25 - Zayas, V. A., Shing, P. B., Popov, E. P. and Mahin, S. A. (1981). *Inelastic Structural Modeling of Braced Offshore Platforms for Seismic Loading*, Report No. UCB/EERC-81/04, Earthquake Engineering Research center, University of California, Berkeley.
- 26 - Kayvani, K., Barzegar, F. (1993). *Modeling of Tubular Members in Offshore Steel Jacket Under Severe Cyclic Loading*, Report No. R-324, the University of New South Wales, Australia.
- 27 - Maison, B. and Popov, E. P. (1980). "Cyclic response prediction for braced steel frames." *Journal of the Structural Devision, ASCE*.

واژه های انگلیسی به ترتیب استفاده در متن

- 1 - Fiber Beam Column Post Buckling Element
- 2 - Fiber Beam Column Element
- 3 – Segment
- 4 - Fiber